

مجلة جامعة تبريز للدراسات والبحوث العلمية
المجلد ٥ - العدد ٢ من ٤٩ إلى ٥٦

١٤٠٢ هـ
سبان
١٩٨٢ م
حزيران

آلية تفاعل الارجاع الضوئي لشاردتني ١ - و ٤ - آزا الفيناترين
بواسطة الفينول وثنائي ميتيل الفورم أميد

الدكتور
سامي أبو العينين
كلية العلوم



ملخص :

لقد خصص هذا البحث لدراسة تفاعل الارجاع الضوئي لشاردي ١ - و٤ - آزا الفيناترين بوجود الفينول وثنائي ميتيل الفورم أميد . وقد حدد المردود الكوانطي لتفاعلات الارجاع الضوئي الجارية في مختلف الجمل المدروسة . بواسطة طريقة التحليل الضوئي الوميضي تم اكتشاف المركبات الوسطية المتشكلة أثناء التفاعلات - جذور آزا الفيناترين الحرة ، وكذلك معقدات انتقال الشحنة الثلاثية (معقد جذر ١ - آزا الفيناترين الحر مع الجذر الشاردي الموجب لثنائي ميتيل الفورم أميد) . وتبين من خلال البحث أن المردود الكوانطي المنخفض لتفاعل الارجاع الضوئي يرتبط بعمليات التخمير التي تشرط بالانتقال المعاكس للالكترون من جذر آزا الفيناترين الحر الى الجذر الشاردي الموجب العائد للهادئة المطفئة (الفينول أو ثباني ميتيل الفورم أميد) وذلك في معقدات انتقال الشحنة الاحادية والثلاثية .

الارجاع الضوئي للمركبات العطرية وأزا العطرية معروف بشكل جيد في حقل الكيمياء الضوئية (١) . تعتبر الجزيئات المشحونة (الشوارد الموجبة) أخذات أكثر قوة للالكترونات من الجزيئات المعتدلة ، لذلك فمن المتضرر أن تكون تفاعلات ارجاعها الضوئي أكثر عمقاً . لقد بحث تفاعل الارجاع الضوئي للشوارد الموجبة بشكل رئيسي على الأصيغة (٢، ٣) . وتبين أنه بوجود مناحات الالكترونات يجري تشكيل الاشكال المرجعة لهذه الأصيغة نتيجة لانتقال الالكترونات (٤) . وذلك بشكل مشابه لما يحدث في تفاعلات انتقال الالكترون الجاري باشتراك الجزيئات المعتدلة (٥) .

كنا قد بينا في بحث سابق (٦) . ان اطفاء فلورة شارجية ٩ - فينيل الاكريدين بواسطة الفحوم الهيدروجينية العطرية مرتبط بعمليات انتقال الالكترون . أما في البحث الحالي فقد درست عمليات الارجاع الضوئي ، واطفاء الفلورة والحالات المهيجة الثلاثية لشارجيتي ١ - و٤ - آزا الفيناترين بواسطة الفينول وثنائي ميتيل الفورم أميد(DMF) عند إضافة محاليل أملاح ١ - و٤ - آزا الفيناترين في الاستيونتيل بوجود DMF والفينول ، يلاحظ تشكيل مركب ثباني هيدروآزا الفيناترين الموفق . يستدل على ذلك بظهور قمة امتصاص جديدة في المجال ٣٠٠ - ٣٠٥ نانومتر وكذلك باختفاء قمة الامتصاص العائدة للشارجية المدروسة . من الجدير بالذكر انه أثناء حدوث التفاعل الكيميائي الضوئي لشارجية ٤ - آزا الفيناترين ، يلاحظ ظهور قمتين امتصاص جديدين في طيف امتصاص النواتج . تنسب احدى هاتين القمتين الى ثباني هيدروآزا الفيناترين ، أما الأخرى فانها تعود على ما يبدو الى ناتج تفاعل جذر ٤ - آزا الفيناترين الحر مع DMF .

لقد بينا في بحث سابق (٦) أن تفاعل الارجاع الضوئي لشارجبة الاكريدين بوجود DMF يجري عبر تشكل الجذر الاكريديني . كذلك هنا فقد تكنا ، عند اجراء التحليل الضوئي الوميسي لشاردي ١ - و٤ - آزا الفيناترين بوجود DMF والفينول ، من ملاحظة تشكل مركبات وسطية قصيرة العمر يمكن اعتبارها جذور ١ - و٤ - آزا الفيناترين .

لمعرفة طبيعة الحالة المهيجة الالكترونية التي يجري منها تفعل ارجاع شاردي ١ - و٤ - آزا الفيناترين ، عمدنا الى دراسة اطفاء الفلورة والحالات المهيجة الثلاثية العائدة لها بواسطة DMF والفينول . تملك الشارجبتان المذكورتان في درجة حرارة الغرفة طيفي فلوره عديمي الشكل تقع قيمتها عند 22400سم^{-1} من أجل ١ - و٤ - آزا الفيناترين على الترتيب . من الجدير بالذكر ان اطفاء فلوره هاتين الشارجبتين بواسطة DMF والفينول يخضع لمعادلة شتيرن - فولر . لكن يلاحظ في حالة DMF ابتعاد عن العلاقة الخطية عندما يكون تركيزه اكبر من $2 \text{مول}/\text{ليتر}$ ، الشيء الذي يرتبط على ما يبدو بتغير طبيعة الوسط .

تجدر الاشارة الى أن علاقتي زمن التخايد والمردود الكوانطي للفلورة بتركيز المادة المطفأة تتطابقان فيما بينهما مما يدل على غياب الاطفاء السكوني للفلورة في الجمل المدروسة . يورد في الجدول ١ / زمان تخايد الفلورة (T_0^S) للشارجبتين المدروستين في الاستيتونترييل وكذلك قيم ثوابت اطفاء الفلورة (k_{ext}) المحددة وفقاً لمعادلة شتيرن - فولر :

$$k_{\text{ext}} = Q \cdot (I_0/I)^{-1}$$

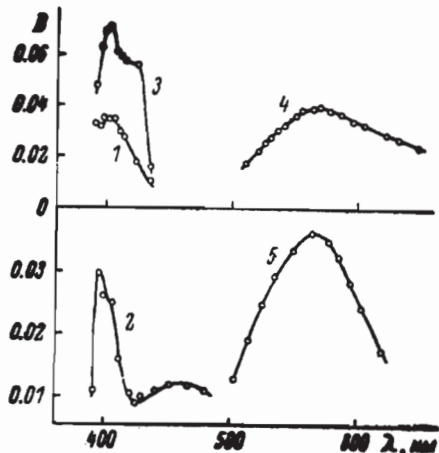
حيث I_0 - شدتا الفلورة بغياب وجود المادة المطفأة Q على الترتيب .

جدول ١ / المعايير الحركية لاطفاء الفلورة والحالات الثلاثية ، وكذلك لتفاعل الارجاع الضوئي لشاردي ١ - و٤ - آزا الفيناترين بوجود DMF والفينول .

الثوابت	الجملة					
	1- $\text{C}_{13}\text{H}_9\text{N} \cdot \text{H} +$		4- $\text{C}_{13}\text{H}_9\text{N} \cdot \text{H} +$		DMF	PhOH
	DMF	PhOH	DMF	PhOH		
$\tau_0 \cdot 10^4, \text{c}$	0.20 ± 0.02	11 ± 1	160 ± 10	1.3 ± 0.4	11 ± 1	170 ± 10
$\tau_0 \cdot 10^4, \text{c}$	1.2 ± 0.05		$(2.7 \pm 0.3) \cdot 10^3$	$—$	1.25 ± 0.05	$(10 \pm 1) \cdot 10^3$
x_s, M^{-1}	0.36 ± 0.03		$(3.0 \pm 0.3) \cdot 10^3$	$—$		$(8.5 \pm 1) \cdot 10^3$
x_r, M^{-1}	0.18 ± 0.02		$—$	48 ± 8		$—$
k_1, c^{-1}	14 ± 1		$—$	1.3 ± 0.5		$—$
$k_1 \cdot 10^{-3}, \text{c}^{-1}$	0.15		0.01	$—$		0.012
$\gamma_s,$	0.04		0.022	$—$		0.01
γ_r, ppm	$—$					

$\tau_0 \cdot 10^4, \text{c}$	0.20 ± 0.02	11 ± 1	160 ± 10	1.3 ± 0.4	11 ± 1	170 ± 10
$\tau_0 \cdot 10^4, \text{c}$	1.2 ± 0.05		$(2.7 \pm 0.3) \cdot 10^3$	$—$	1.25 ± 0.05	$(10 \pm 1) \cdot 10^3$
x_s, M^{-1}	0.36 ± 0.03		$(3.0 \pm 0.3) \cdot 10^3$	$—$		$(8.5 \pm 1) \cdot 10^3$
x_r, M^{-1}	0.18 ± 0.02		$—$	48 ± 8		$—$
k_1, c^{-1}	14 ± 1		$—$	1.3 ± 0.5		$—$
$k_1 \cdot 10^{-3}, \text{c}^{-1}$	0.15		0.01	$—$		0.012
$\gamma_s,$	0.04		0.022	$—$		0.01
γ_r, ppm	$—$					

لقد كان استخدام شدة الفلورة في معادلة شتيرن - فولر بدلاً من مردود الفلورة الكوانتي ممكناً نظراً لأنّ شكل طيف الفلورة للشارجيتين المدرستين لا يتغير عند إضافة المادة المطهّفة إلى الجملة . ومن الجدير بالذكر أن ثابتِي اطفاءِ فلورةِ شارجيتي آزا الفيناترين بواسطة DMF أصغر بكثير من مثيليهما في حالةِ الاطفاءِ بواسطةِ الفينول (جدول ١) . إن طيفي فلورةِ شارجيتي ١ - ٤ - آزا الفيناترين معروفان في المراجع العلمية^(٨) . ويشار في المرجع^(٩) إلى وجودِ الامتصاصِ T-T العائد لهما . وقد تمكننا بواسطة التحليل الطيفي الوميسي من تسجيلِ طيفِ الامتصاصِ T-T لهاتين الشارديتين في الأسيتونتريل (الشكل ١) .



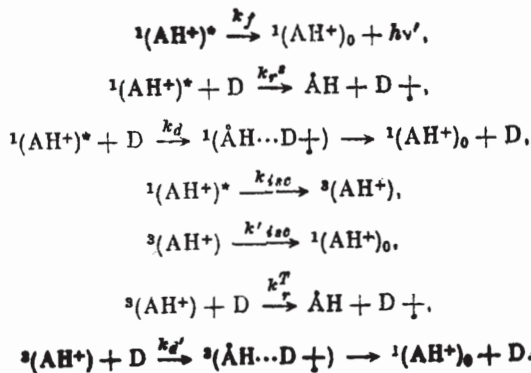
الشكل (١) طيف امتصاص جذري ١ - آزا الفيناترين^(١) و ٤ - آزا الفيناترين^(٢) ومعقد انتقال الشحنة الثلاثي لجذر ١ - آزا الفيناترين مع الجذر الشاري الموجب لـ

DMF في وسط من^(٣) ؛ وطيفي الامتصاصِ T-T لكلِ من شارجية ١ - آزا الفيناترين^(٤) وشارجية ٤ - آزا الفيناترين^(٥) في وسطِ من الأسيتونتريل .

يلاحظ عند إضافة الفينول إلى الجملة اطفاء الحالات الثلاثية لكليتا الشارديتين بينما عند إضافة DMF إليها يلاحظ اطفاء الحالات الثلاثية العائد لشارجية ١ - آزا الفيناترين . هذا ويخضع اطفاء الحالات الثلاثية إلى معادلة شتيرن - فولر . يورد في الجدول ١ / زمن حياة الحالات الثلاثية للشارجيتين المدرستين τ^T وكذلك قيم ثوابت اطفاء الحالات الثلاثية κ_T المحددة بواسطة معادلة شتيرن - فولر :

$$(\tau^T / \tau^T_0) - 1 = \kappa_T [Q]$$

يجب أن أشير هنا إلى أن قيمة ثابت سرعة اطفاء الحالات الثلاثية الذي يساوي (T_{d}/k_f) بواسطة DM_{H} (من أجل ١ - آزا الفيناترين) والفينول أقل بكثير من قيمة ثابت سرعة اطفاء الحالات المهيجة الاحادية (جدول ١) . لاستعراض الآن المخطط الحركي العام لتفاعل شارجتي آزا الفيناترين المهيجهتين مم مانحات الالكترونات (D) :



في الحالة العامة اذا كان التفاعل يجري من الحالتين المهيجهتين الاحادية والثلاثية بـ واحد ، فاننا سنحصل على العبارة التالية للمردود الكوانطي للتفاعل :

$$\Phi = \gamma_s \cdot z_s \cdot \frac{[Q]}{1 + z_s [Q]} + \gamma_r \cdot \gamma_r \cdot z_r \cdot \frac{[Q]}{(1 + z_s [Q])(1 + z_r [Q])} \quad (1)$$

او

$$\Phi \cdot \frac{1 + z_s [Q]}{[Q]} = \frac{\Phi \cdot I_0}{[Q] \cdot I} = z_s \cdot \gamma_s + \frac{z_r \cdot \gamma_r \cdot \gamma_r}{1 + z_s [Q]} = z_s \gamma_s + z_r \gamma_r \cdot \frac{\gamma_r}{1 + z_s [Q]} \quad (2)$$

حيث Φ - المردودان الكوانطيان الحديان للتتفاعل من الحالتين المهيجهتين الاحادية والثلاثية على الترتيب ؛ γ_r - المردود الكوانطي للحالات الثلاثية لشارجية آزا الفيناترين ؛ $T_{\text{d}} = (k^T + k_d) T_0 = (k^T + k_d) T_{\text{d}}$ - ثابتا سرعتي اطفاء الحالتين المهيجهتين الاحادية والثلاثية .

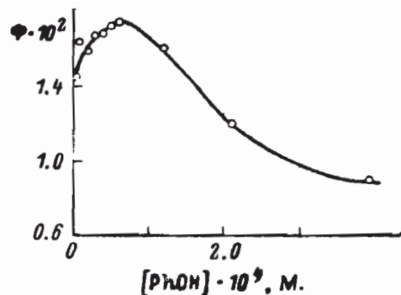
اما اذا كان التفاعل يجري فقط من الحالة المهيجة الاحادية فاننا سنحصل على المعادلة التالية :

$$\frac{1}{\Phi} = \frac{1}{I} \left(1 + \frac{1}{z_r} \right) \cdot \frac{1}{[Q]}, \quad z_r = (k_r + k_d) \cdot z_{\text{d}}. \quad (3)$$

حيث Δ - المردود الكوانتي الحدي للتفاعل ، α و β - ثابتا سرعتي التفاعل الكيميائي الضوئي وتخميم الحالات المهيجة الاحادية على الترتيب ، τ - زمن حياة الفلورة في غياب المادة المطفرة .

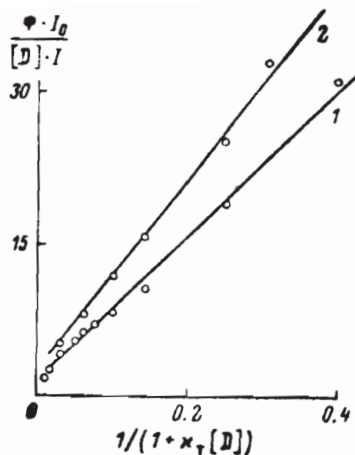
على ضوء المعطيات التجريبية حول اطفاء الحالات المهيجة للشارجتين المدروستين يمكننا القول بان تفاعل الارجاع الضوئي لشارجة ٤ - آزا الفيناترين بوجود DMF يجري من الحالة المهيجة الاحادية وذلك لأن حالته المهيجة الثلاثية لا تطفأ بواسطة DMF . كذلك في حالة شارجة ١ - آزا الفيناترين فان تفاعل الارجاع على ما يبدو يجري من الحالة المهيجة الاحادية وذلك لأن قيمة الثابت α المحددة من علاقة $\Phi = \frac{1}{Q} e^{-\frac{E}{RT}}$ بقلوب تركيز المادة المطفرة (Q) تتطابق مع قيمة ثابت اطفاء الفلورة α بواسطة DMF (جدول ١) . وهذا على الرغم من أن قيمة ثابت اطفاء الحالة المهيجة الثلاثية لشارجة ١ - آزا الفيناترين بواسطة DMF اكبر من قيمة الثابت α .

اما بوجود الفينول فان تفاعل الارجاع الضوئي لشارجيتي آزا الفيناترين يجري حتى في تراكيز صغيرة من الفينول عندما لا يلاحظ بعد اطفاء فلورتها . وإذا رسمنا المنحنى الممثل لعلاقة المردود الكوانتي لتفاعل ارجاع شارجة ١ - آزا الفيناترين بتركيز الفينول فاننا سنلاحظ أنه يمر بنهاية عظمى (الشكل ٢) .



الشكل (٢) علاقة المردود الكوانتي لتفاعل الارجاع الضوئي لشارجة ١ - آزا الفيناترين بتركيز الفينول .

إن مثل هذه العلاقة لا تلاحظ الا عندما يجري التفاعل من الحالة المهيجة الثلاثية بالإضافة الى جريانه من الحالة المهيجة الاحادية . وبالفعل فان المعطيات التجريبية التي حصلنا عليها من أجل شارجيتي ١ - ٤ - آزا الفيناترين توصف بشكل جيد بواسطة المعادلة رقم (٢) (الشكل ٣) .



الشكل (٣) علاقة المردود الكوانتي لتفاعل الارجاع الضوئي لشارجيتي ١ - آزا الفيناترين (١) و ٤ - آزا الفيناترين (٢) بتركيز الفينول في احداثيات المعادلة رقم (٢).
إذا يجري تفاعل الارجاع الضوئي لشارجيتي آزا الفيناترين بوجود الفينول من كلتا الحالتين المهيجهن الاحادية والثلاثية . أضعف الى ذلك أن مردود التفاعل من كلتاها قيم متقاربة .

عندما نستعرض تفاعل الارجاع الضوئي لشارجيتي ١ و ٤ - آزا الفيناترين بوجود DMF والفينول أول ما يسترعي الانتهاء هو انخفاض قيمة مردوده الكوانتي بغض النظر عن الحالة المهيجة التي يجري منها التفاعل المدروس . هناك شيء آخر يسترعي الانتهاء ألا وهو الاختلاف الكبير بين قيمتي ثابتى اطفاء الحالتين المهيجهن الاحادية والثلاثية .
بالنسبة للامر الاول يمكننا الافتراض بان المردود الكوانتي المنخفض لتفاعلات الارجاع الضوئي المدرسة مرتبط بعمليات تبديد الطاقة الالكترونية تحت تأثير المتفاعلات . ترتبط آلية تبديد الطاقة الالكترونية المذكور قبل كل شيء بعمليات الانتقال المعاكس للالكترون في معقدات انتقال الشحنة (معقدات جذور آزا الفيناترين مع الجذر الشاردي الموجب لثنائي ميتيل الفورم أميد أو للفينول) وذلك بشكل مشابه لتخمين معقد انتقال الشحنة الثلاثي (معقد جذر ٩ - فينيل الاكريدين مع الجذر الشاردي الموجب للمركب العطري) الملاحظ بواسطة التحليل الطيفي الوميضي (٦) .

وبالفعل عند اجراء التحليل الضوئي الومضي لشارجبة ١ - آزا الفيناترين بوجود DMF يلاحظ الى جانب قمة الامتصاص T-T تشکل ثانية وسيطين زمن حياتها قصير ، يمتصان في المجال ٤٠٠ - ٤٢٠ نانومتر (الشكل ١) ، ويخفيان في اقانون من الدرجة الاولى

لكن بثابتي سرعة مختلفين (جدول ١) . إن المركبان الوسطيان اللذان يتمتعان بزمن حياة طويل نسبيا (٠٠٧ ، ٠٢٢ ، ٠٠٨) ثا من أجل ١ - و ٤ - اذا الفيناترين على الترتيب) هما على ما ييدو جذرا آزا الفيناترين المواقفان . يجب أن ننوه الى ان النشورات العلمية لا تضم معلومات عن طيوف امتصاص جذور آزا الفيناترين ، لكن من المعروف أن طيوف امتصاص جذور المركبات العطرية غير المتجانسة (الأزوية) تقع عادة في المجال ٤٠٠ - ٥٠٠ نانومتر . هذا ويكمننا الافتراض بشكل مشابه لجذور الأكريدين(٧) أن جذور آزا الفيناترين هي جسيمات وسطية في تفاعلات الارجاع الضوئي لشوارد آزا الفيناترين .

أما الجسيمات التي تتمتع بزمن حياة قصير نسبيا فيمكن أن تنسب الى معقدات انتقال الشحنة الثلاثية (لا سيا الى معقدي جذري آزا الفيناترين مع الجذر الشاري الموجب لثنائي ميتيل الفورم أميد) وذلك بشكل مشابه لما يحدث لشارجبة ٩ - فينيل الأكريدين (٦) . من الجدير بالذكر أن المردود الكوازي لمعقد انتقال الشحنة الثلاثي الذي تشكله شارجبة ٤ - آزا الفيناترين صغير جدا الى درجة لا يمكن معها تسجيل طيف امتصاص المعقد . يرتبط هذا الفرق بين شارجبة ٤ - آزا الفيناترين وشارجبة ١ - آزا الفيناترين على ما ييدو بغياب اطفاء الحالة المهيجة الثلاثية لشارجبة ٤ - آزا الفيناترين بواسطة DMF . ومن جهة أخرى يعتبر الغياب العملي للجسيمات قصيرة العمر نسبيا في حالة شارجبة ٤ - آزا الفيناترين دليلا آخر على صحة نسب الجسيمات الوسطية التي تتمتع بثابت سرعة كبير في حالة ١ - آزا الفيناترين ، الى معقدات انتقال الشحنة الثلاثية .

لقد بينا مؤخرا (٦) أن الانقال المعاكس للالكترون من الجذر الى الجذر الشاري الموجب في معقدات انتقال الشحنة الثلاثية يقود الجملة الى الحالة الاولية . وعلى ما ييدو عندما تتفاعل شاردا آزا الفيناترين مع DMF في حالتها المهيجة الاحادية تتشكل معقدات انتقال الشحنة الاحادية (بشكل مشابه لمعقدات الشحنة الثلاثية) والتي يؤدي فيها انتقال الالكترون المعاكس الى عودة الجملة الى حالتها الابتدائية . بالنتيجة يمكننا القول أن سبب انخفاض المردود الكوازي لتفاعلات الارجاع الضوئي المدرستة هو تشكل معقدات انتقال الشحنة والتي يؤدي انتقال الالكترون المعاكس في داخلها الى تبديد طاقة التهيج الالكترونية .

الآن اذا استعرضنا قيم ثوابت اطفاء الحالات المهيجة الاحادية والثلاثية لشارجبتي ١ - و ٤ - آزا الفيناتري بواسطة DMF والفينول نجد من جهة أن ثوابت اطفاء الفلورة بواسطة DMF أو الفينول اكبر بحوالي ثلات مراتب من ثوابت اطفاء الحالات المهيجة الثلاثية ، ومن

جهة أخرى نجد أن ثوابت اطفاء الحالات المهيجة الاحادية والثلاثية بواسطة الفينول هي أكبر بكثير من ثوابت اطفائها بواسطة DMF .

يصبح الاختلاف بين قيم ثوابت اطفاء الحالات المهيجة الاحادية والثلاثية بواسطة DMF والفينول واضحًا اذا أخذنا بعين الاعتبار قيمتي كموني اكسدة DMF والفينول . بما أن كمون اكسدة الفينول (1.34B) أصغر من كمون اكسدة DMF (1.85B) فان انتقال الالكترون في حالة الفينول سيتم بصورة أسرع . هذا ويعطي حساب نسبة ثابتني اطفاء شوارد آزا الفينانترین المهيجة بواسطة الفينول و DMF وفقاً لمعادلة ويل(10) قيمة قريبة من ٣٠ الشيء الذي يتطابق مع النتائج التجريبية التي حصلنا عليها . أما الاختلاف بين قيمتي ثابتني اطفاء الحالتين المهيجهتين الاحادية والثلاثية فيعود الى الفرق بين كموني ارجاعهما ، الشيء الذي يرتبط باختلاف طاقتى تهيجهما (٣٢٠ و ٥٤) الكترون فولط من أجل الحالتين الاحادية والثلاثية على الترتيب .

أخيرا يمكننا تلخيص النتائج التي توصلنا اليها في هذا البحث بالنقطات الرئيسية التالية :

- ١- ترجع شارجبات آزا الفينانترین المهيجة بواسطة الفينول و DMF .
- ٢- تبعاً للجملة المدرورة يمكن لعملية الارجاع الضوئي أن تحدث من الحالة المهيجة الاحادية كما ان تحدث من الحالة المهيجة الثلاثية .
- ٣- يشير المردود الكوانطي المنخفض لعملية الارجاع الى أن القسم الاعظم من الجزيئات المهيجة يتعرض لعملية التخمير .
- ٤- ترتبط عملية التخمير بالانتقال الالكتروني المعاكس من الجذر الحر الى الجذر الشاردي الموجب في داخل معقدات انتقال الشحنة الاحادية او الثلاثية ، والذي يؤدي الى تشكيل الجزيئات الابتدائية .
- ٥- تعتبر عملية الانتقال الالكتروني المعاكس المنافس الافضل لعملية تشكيل جذور آزا الفينانترین التي تؤدي الى انجاز تفاعل الارجاع الضوئي .

طريقة العمل

حصلنا على املاح آزا الفينانترین بالإضافة حمض فوق الكلور (M 0,01) الى محلول آزا الفينانترین المواافق في الاسيتونتريل . أما تراكيز محاليل املاح آزا الفينانترین التي أخذت للعمل فكانت في حدود ٤ - ١٠ مول / ليتر .

وأجريت كل التجارب في البحث على محاليل خالية من الغازات . سجلت طيف الفلورة بواسطة جهاز «Bearn» من صنع شركة «Jobin and Yvon» أما طيف الامتصاص فقد

سجلت بواسطة مقياس الطيف الضوئي «SP-8000» من صنع شركة «Pye Unicam». حددت أزمان حياة الفلورة بواسطة مقياس فلورة وميضي (11) زمن ومضته من رتبة ٩٠١٠ ثا.

أما المراديد الكوانтиة لتفاعلات الارجاع الضوئي لشوارد آزا الفيناترين فقد حددت بواسطة خلية ضوئية درجة مساحتها بمساعدة اكتينومتر (12) (حاضرات الحديد). سجلت طيف الامتصاص T-T لشوارد آزا الفيناترين بواسطة جهاز التحليل الطيفي الوميضي الذي تصل طاقته إلى ٦٥٠ جول ومضته يصل إلى ٥١٠ ثانية. من أجل ذلك استعملت خلايا مصنوعة من الكوارتز طولها ٦٠ ملم وقطرها ١٠ ملم. هذا وقد سجل طيف الامتصاص T-T بطريقة النقاط.

REFERENCES

- [1] J. A. Bartrop, Pure Appl. Chem., 33, 179 (1973).
- [2] А. Н. Чубисов, Хим. выс. энерг., 10, 3 (1976).
- [3] A. Kellmann, Photochem. Photobiol., 20, 103 (1974).
- [4] Л. В. Рамашов, Ю. И. Кирюхин, Х. С. Багдасарьян, ДАН СССР, 230, 1145 (1978).
- [5] K. H. Grellmann, A. R. Watkins, A. Weller, J. Phys. Chem., 76, 469 (1972).
- [6] В. Л. Иванов, Сами Абу Аль-айнен, М. Г. Кузьмин, ДАН СССР, 237, 1400 (1977).
- [7] В. Л. Иванов, Сами Абу Аль-айнен, Хим. выс. энерг., 12, 148 (1978).
- [8] V. Donckt, R. Dramaix, J. Nastelski, C. Vogels, Trans. Faraday Soc., 65, 3258 (1969).
- [9] G. Favoro, F. Mazetti, U. Mazzuccato, Spectr. acta, 27A, 915 (1971).
- [10] D. Rehm, A. Weller, J. Chem., 8, 259 (1970).
- [11] М. Г. Кузьмин, И. А. Садовский, Хим. выс. энерг., 9, 291 (1975).
- [12] C. A. Parker, Proc. Roy. Soc., 220A, 104 (1953).